

## **Қишлоқ хўжалигига оид тасвирда контурларни аниқлаш алгоритмлари**

**Аннотация.** Сўнгги йилларда сунъий йўлдош тасвирлари асосида қишлоқ хўжалиги майдонлари ва экинлари ҳолати ҳақида муҳим маълумотлар тезкор ва сифатли олинмоқда. Бу эса қишлоқ хўжалигига улардан янада кенг фойдаланишни талаб қиласди. Бироқ, бундай тасвирлар асосида эксперталар томонидан қайта ишлаш, жумладан дала майдонини субъектив визуал кузатиш кўп вақт ва энергия сарфланишига олиб келади. Бу каби муаммолар одатда тасвирларни қайта ишлаш жараёнини автоматлаштириш орқали ҳал этилади. Тасвирларни қайта ишлаш жараёниниң муҳим қисмларидан бири бу тасвирдаги объект контурини аниқлаш муаммоси бўлиб, у орқали тасвирдаги обьектларни ажратиб олиш, яъни сегментлаш амалга оширилади. Объект контурлари қанчалик аниқ, тўлик ва тўғри аниқланса, у ҳолда обьектни сегментлаш ва таниб олиш аниқлиги шунчалик юқори бўлади. Бу эса контурларни аниқлаш усул ва алгоритмларини тадқиқ этиш ҳамда такомиллаштиришни талаб қиласди. Мазкур тадқиқот иши контур аниқлаш усулларининг қиёсий таҳлилига бағишлиланган бўлиб, унда келтирилган усуллар дастлаб оригинал тасвир ҳамда уларни контурлари эксперталар томонидан ажратилган тасвирлар базасида синовдан ўтказилган. Синовлар контури эксперт томонидан ажратилган контурли тасвирлар ҳамда усулларни қўллаш орқали ҳосил қилинган контурли тасвирлар асосида амалга оширилган бўлиб, натижаларни таққослаш пикселларни таққослаш усули орқали амалга оширилган. Шунингдек, усулни баҳолаш мезонига кўра, контур ажратишнинг мақбул усули аниқланган. Олинган натижалар асосида тасвир сифатига боғлиқ ҳолда мос усулни қўллаш ёндашуви таклиф этилган. Таклиф этилган ёндашув асосида сунъий йўлдош орқали олинган тасвирлар контурларни аниқлаш амалга оширилган.

**Калит сўзлар:** контур, сунъий йўлдош, объект, тасвир, Собел, Кэнни, фильтр, пикセル, усул, алгоритм, мезон, қоида.

## Кириш

Бугунги кунда сунъий йўлдош орқали олинган қишлоқ хўжалигига оид тасвиirlар асосида қишлоқ хўжалиги майдонлари ва экинлари ҳолати ҳақида муҳим маълумотлар тез ва сифатли шакллантирилмоқда. Экспертлар бу каби вазифаларни амалга оширишда кўп вақт ва куч сарфлашади. Бу эса ўз навбатида, қарор қабул қилиш жараёнини кечигишига олиб келади. Одатда бу каби муаммолар тасвиirlни қайта ишлаш ва таниб олишни автоматлаштириш орқали ҳал этилади.

Тасвиirlни қайта ишлашнинг муҳим қадамларидан бири тасвиirlни сегментлаш бўлиб, ҳозирги кунда тасвиirl объектларни сегментлашнинг қўплаб ёндашувлари ишлаб чиқилган. Бироқ, сунъий йўлдош тасвиirlари сони ва ҳажми катта бўлганлиги учун уларни таҳлил қилиш катта маблағларни талаб қилади. Бунда объект контурини аниқлаш орқали сегментлашни амалга ошириш мақсадга мувофиқ ҳисобланади ва бу тасвиirlарни қайта ишлашнинг муҳим қисми бўлиб, унда тасвиirdагi объект чегара чизиқларини мавжудлиги асосида контур белгиланади [1]. Контурларни аниқлашнинг асосий мақсади тасвиirlардан олинадиган маълумотларни қайта ишлаш миқдорини минималлаштириш ҳисобланади. Тасвиirdагi объект чегараларини аниқлашда контурларни тўғри ва тўлиқ олиниши тасвиirlни турли шовқин ва ҳалақитлардан ҳоли ҳамда контрастини нормал даражада бўлишига боғлиқдир. Чунки тасвиirda шовқин мавжудлиги ёлғон контурларни ҳосил бўлишига, тасвиirl контрастининг етарли даражада бўлмаслиги эса контурларни аниқ ва тўлиқ бўлмаслигига олиб келади. Бу каби муаммоларни бартараф этиш мақсадида, тасвиirlга дастлаб контрастини ошириш [2-4] ва шовқинларни бартараф этиш алгоритмлари [5] каби дастлабки ишлов бериш алгоритмларини қўллаш тавсия этилади.

Бугунги кунда тадқиқотчилар томонидан контур ажратишнинг қўплаб усул ва алгоритмлари ишлаб чиқилган бўлсада, бироқ тасвиirlни қайta ишлаш жараёнида тасвиirdагi объект контурини аниқлашни ўзига хос умумий усули

ишлиб чиқилмаган ва бу тасвирларни қайта ишлешнинг асосий муаммоларидан бири ҳисобланади.

Тасвир ёрқинлик ўзгариши асосида объект контурини ажратиш мумкин. Бунда тасвир икки ўлчовли функция сифатида қаралади ва унда вертикал ҳамда горизонтал йўналишлар бўйича нуқта градиенти ҳисобланади. Бу икки ўлчовли функциядан олинадиган хусусий ҳосилалар орқали аниқланаб, у орқали тасвир ёрқинлик ўзгариши аниқланади. Мазкур тадқиқот ишида контур ажратишнинг градиентли Собел, Преуитт, Роберц, Счарр, Орхеи, Китчен-Малин, Каялли ва Кэнни, Робинсон, ЛоГ, ДоГ усуллари баҳоланиб, улар асосида контур ажратишнинг нуқта солишириш алгоритмига нисбатан мақбул усули аниқланган.

### Методлар

Фараз қиласлий, бизга  $T_o$ -оргинал тасвирлар ва уларга мос  $T_o^k$  контури эксперт томонидан ажратилган тасвирлар тўплами, шунингдек  $u_i$  контур ажратишида қўлланиладиган фильтрлар ҳамда  $B$  тасвирларни солишириш мезонлари тўплами берилган бўлсин.  $t_o \in T_o$  оригинал тасвир ва унга мос  $t_o^k \in T_o^k$  контури эксперт томонидан ажратилган тасвир учун  $u_i$  фильтрни  $t_o$  тасвирга қўллаш натижасида ҳосил қилинадиган  $t_i$  контурли тасвир қўйидагича аниқланади:

$$t_i = u_i(t_o), i = \overline{1, 11} \quad (1)$$

Бунда тасвирдаги объект контурини аниқлашда қўлланиладиган фильтрлар ишлиб чиқилган даврига кўра қўйидагича белгиланди:  $u_1$  – Роберц,  $u_2$  – Преуитт,  $u_3$  – Собел,  $u_4$  – Робинсон,  $u_5$  – ЛоГ,  $u_6$  – ДоГ,  $u_7$  – Кэнни,  $u_8$  – Китчен-Малин,  $u_9$  – Счарр,  $u_{10}$  – Каялли,  $u_{11}$  – Орхеи.

Танланган фильтрлар самарадорлигини баҳолаш  $t_o^k$  тасвир ва фильтрларни қўллаш натижасида олинган  $t_i$  тасвирни солишириш қўйидагича аниқланади:

$$b_i = \frac{|t_o^k \cap t_i|}{|t_o^k|} \cdot 100\%, i = \overline{1, 11} \quad (2)$$

бу ерда,  $b_i \in B$ ,  $|t_o^k|$ -контурли тасвир пикселлар сони,  $|t_o^k \cap t_i|$  –  $t_o^k$  ва  $t_i$  тасвирларни кесишмаси пикселлари сони.

Мазкур ёндашувда (2) орқали олинган қиймат қанчалик катта бўлса, у ҳолда бу қийматга мос фильтр энг самарали деб олинади, яъни:

$$u_{opt} = \max_i \{b_i\}, i = \overline{1, 11} \quad (3)$$

### Ҳисоблаш тажрибаси ва натижалар

Тасвир объектлари контурини ажратиш усули натижасини баҳолашда энг ишончли усул бу тасвирни аниқ контурли тасвири билан таққослаш ҳисобланади. Мазкур тадқиқот ишида ҳисоблаш тажрибасини ўтказишида асл ва унга мос контурли тасвирлар экспертлар томонидан шакллантирилган [www.kaggle.com](http://www.kaggle.com) сайтида келтирилган BSDS500 тасвирлар тўпламидаги 100 та намуна тасвирдан фойдаланилган.

Тасвир объектлари контурини ажратишида тасвир сифатига боғлиқ ҳолда мос самарали усулни аниқлаш учун тасвир сифатини баҳолашни машҳур эталонсиз BRISQUE [6] мезонидан фойдаланилган. Бунда келтирилган BSDS500 тасвирлар тўпламидан олинган 100 та намуна тасвирлар ва уларга турли ҳалақитлар қўшиш орқали 400 та янги тасвир яратилиб, 500та тасвирдан иборат база шакллантирилган. Базадаги тасвирлар сифати BRISQUE қийматига кўра 5 та, яъни  $T_o^1$ -Best,  $T_o^2$ -Good,  $T_o^3$ -Medium,  $T_o^4$ -Poor ва  $T_o^5$ -Bad тоифали тасвирлар тўпламига ажратилди (1-жадвал).

### 1-жадвал

BRISQUE қиймати бўйича тасвир тоифалаш натижалари

Тасвир базаси	Тасвир сифати	Тоифага ажралиш диапазони	Тасвир сони
$T_o^1$	Best	(0;21)	83
$T_o^2$	Good	[21-41)	15
$T_o^3$	Medium	[41;61)	97
$T_o^4$	Poor	[61;81)	227
$T_o^5$	Bad	[81;100)	78

$T_o^1$ ,  $T_o^2$ ,  $T_o^3$ ,  $T_o^4$  ва  $T_o^5$  тасвиrlар тўпламидан олинган намуна тасвиrlар куйидаги расмда келтирилган.



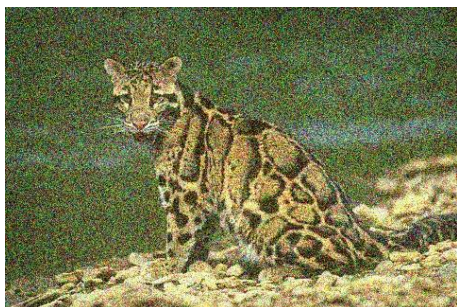
“Best”



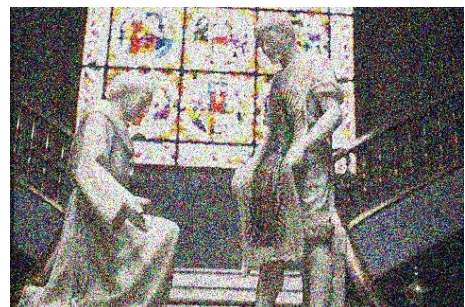
“Good”



“Medium”



“Poor”



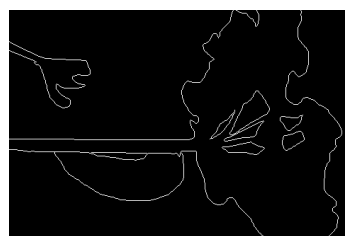
“Bad”

**1-расм.**  $T_o^1$ ,  $T_o^2$ ,  $T_o^3$ ,  $T_o^4$  ва  $T_o^5$  тасвиrlар тўплами намуна тасвиrlари

Ажратилган тоифалар тасвиrlарига юқорида келтирилган  $u_i$ , ( $i = \overline{1,11}$ ) фильтрларини қўллаш орқали контурларни ажратиш амалга оширилди. Куйидаги расмда фильтрларни  $T_o^1$  тасвиrlар тўпламига қўллаш орқали олинган тасвиr намуналари келтирилган.



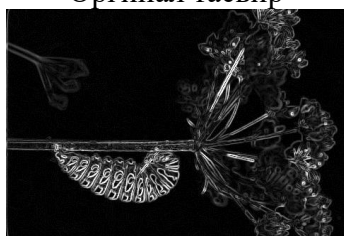
Оригинал тасвиr



Контурли асос тасвиr



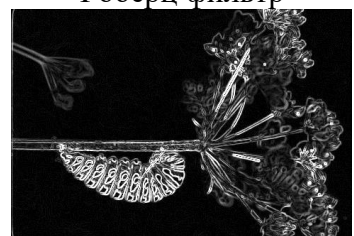
Роберц фильтр



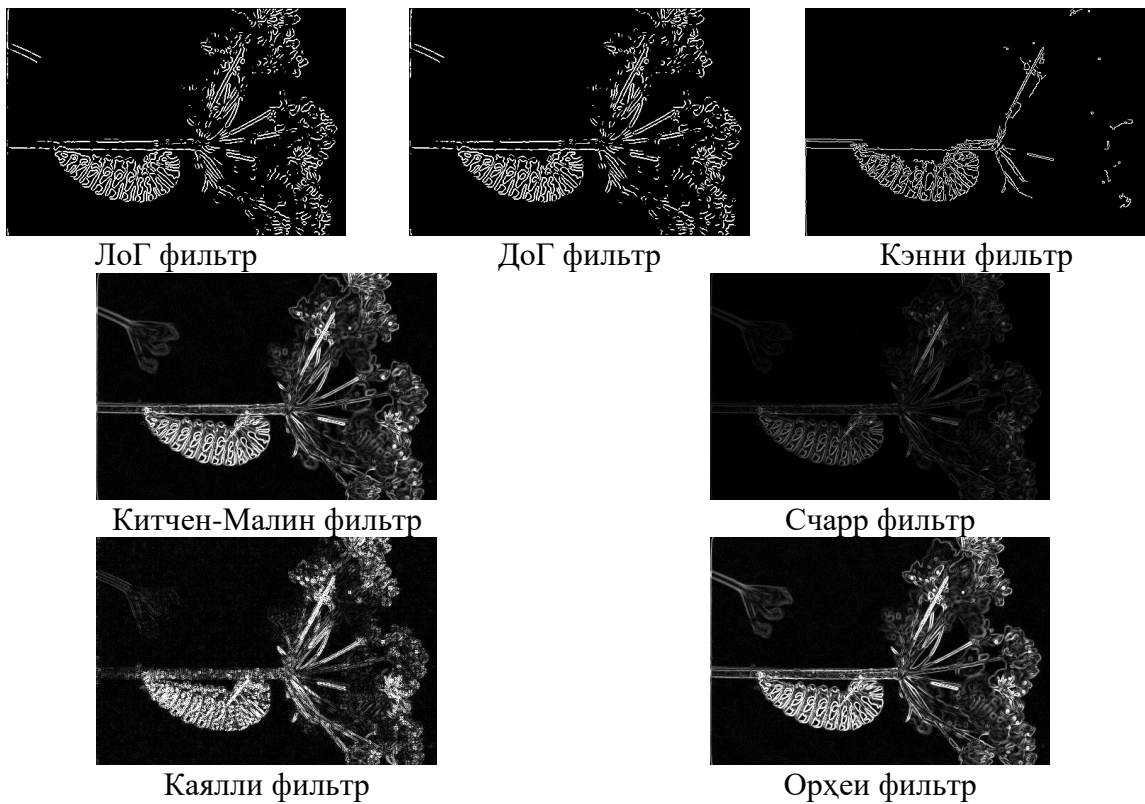
Преуитт фильтр



Собел фильтр



Робинсон фильтр



**2-расм.** Оригинал тасвир ва фильтр қўллаган тасвир намуналари

Фильтрларни қўллашдан олинган натижалар (2) формула орқали баҳоланди ва баҳолашнинг ўртacha қийматлари аниқланди, олинган натижалар 2-жадвалда келтирилган.

## 2-жадвал

### Фильтрларни қўллаш натижалари

Фильтр номи	Фильтрларнинг (2) формула бўйича ўртача қийматлари %				
	$T_o^1$	$T_o^2$	$T_o^3$	$T_o^4$	$T_o^5$
Роберц [19]	41.86	36.21	26.35	14.92	13.48
Преуитт [17]	42.35	39.59	36.01	20.91	18.07
Собел [18]	45.93	44.19	<b>42.51</b>	22.01	14.13
Робинсон [20]	46.22	39.05	35.10	21.56	17.07
ЛоГ [22]	35.65	35.94	34.30	<b>26.95</b>	18.01
ДоГ [21]	41.56	36.37	34.61	26.79	19.64
Кэнни [14]	27.57	18.10	24.15	21.94	18.26
Китчен-Малин [24]	63.65	35.73	33.70	22.31	<b>19.66</b>
Чарр [23]	<b>82.65</b>	42.91	29.99	17.85	16.62
Каялли [15]	49.33	<b>55.92</b>	14.42	15.09	12.99
Орхеи [16]	59.42	38.91	31.81	15.98	15.10

<b>Максимум қиймат</b>	<b>82.65</b>	<b>55.92</b>	<b>42.51</b>	<b>26.95</b>	<b>19.66</b>
----------------------------	--------------	--------------	--------------	--------------	--------------

2-жадвалга кўра  $T_o^1$  тасвирлар тўплами учун  $u_9$  – Счарр фильтри,  $T_o^2$  учун  $u_{10}$  – Каялли фильтри,  $T_o^3$  учун  $u_3$  – Собел фильтри,  $T_o^4$  тасвирлар тўплами учун  $u_5$  – ЛоГ,  $u_6$  – ДоГ ва  $u_8$  – Китчен-Малин фильтрини қўллаш самарали эканлигини кўриш мумкин. Бироқ, ушбу тадқиқотда  $T_o^3$  ва  $T_o^4$  тасвирлар тўплами учун самарадорлик даражаси 50% дан паст бўлиши тасвир объектлари контурини ажратишга қўйиладиган талабларга жавоб бермайди. Шунинг учун ушбу тасвирларни дастлабки ишлов бериш жараёнидан ўтказиш тавсия этилади.  $T_o^5$  тасвирлар тўпламида аниқлик ўта паст эканлигини кўриш мумкин. Шунинг учун, ушбу тоифадаги тасвирлар учун юқорида келтириб ўтилган фильтрлар кутилган натижаларни таъминламайди.

Таклиф этилган ёндашув сунъий йўлдошдан олинган тасвирлар тўплами SIRI\_WHU\_Datasetда ҳам синовдан ўтказилди. Бунда сунъий йўлдош тасвир намуналар сони 73 та. Бироқ, уларнинг контури эксперт томонидан тасвирлари мавжуд эмас. Сунъий йўлдош тасвирлар тўплами дастлаб BRISQUE мезони бўйича баҳоланди, сўнгра ушбу мезон қийматига боғлиқ ҳолда мос объект контурини ажратиш фильтри қўлланилди. Фильтрларни сунъий йўлдош тасвирлар тўпламига қўллаш орқали олинган тасвир намуналари қуйидаги расмда келтирилган (3-расм).



Оригинал тасвир  
BRISQUE=19.57



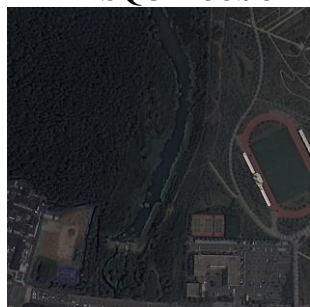
Счарр фильтр



Оригинал тасвир  
BRISQUE=38.98



Каялли фильтр



Оригинал тасвир  
BRISQUE=53.15



Собел фильтр

### 3-расм. Сунъий йўлдош тасвирига фильтрларни қўллаш натижалари

Олинган натижалар BRISQUE қиймати бўйича сунъий йўлдош тасвиirlар тўпламига мос контур ажратиш фильтрни қўллаш дала майдонлари контурларини ажратишда самарадор эканлигини кўрсатди.

#### Хулоса

Сунъий йўлдош тасвиirlарини қайта ишлаш жараёнини автоматлаштириш қишлоқ хўжалигида экин майдонлари ва улардаги экин турлари ҳақида тез ва ишончли маълумотлар олиш имконини беради. Бироқ, сунъий йўлдош тасвиirlар тўпламида тасвиirlар сонини кўплиги ва ўлчамини ўта катта бўлиши маълумотларни таҳлилини мураккаблаштиради. Қайта ишланадиган маълумотлар миқдорини қисқартириш учун тасвир объектлар контурини ажратишдан фойдаланиш зарур. Шунинг учун, мазкур тадқиқот ишида тасвиirlарни қайта ишлаш жараёнида объектлар контурини аниқлаш масаласи ўрганилган. Бунда жами 11 та фильтрдан ҳисоблаш тажрибасини ўтказишида фойдаланилган бўлиб, дастлаб контури эксперт томонидан ажратилган контурли тасвиirlари мавжуд BSDS500 тасвиirlар базасида тажрибалар амалга оширилган. Олинган тасвиirlар учун танланган

барча фильтрлар синовдан ўтказилган. Құлланилған фильтрлар натижасыда ҳосил қилингандықтан тасвир контури эксперт томонидан ажратылған контурлар тасвир билан пикселлар мослиги бўйича баҳоланған. Ҳисоблаш тажрибаси натижалари асосида тасвир сифатини баҳолашни BRISQUE қийматига асосланған контур ажратишни мос усулини қўллаш учун қўйидаги қоида ишлаб чиқилған:

- агар  $0 < B_r < 21$  бўлса, у ҳолда тасвир объектлари контурини ажратишида Счарр фильтри қўлланилади;
- агар  $21 \leq B_r < 41$  бўлса, у ҳолда тасвир объектлари контурини ажратишида Каялли фильтри қўлланилади;
- агар  $41 \leq B_r < 61$  бўлса, у ҳолда тасвир объектлари контурини ажратишида Собел фильтри қўлланилади ёки тасвир дастлабки ишлов бериш жараёнига қайтадан юборилади;
- агар  $61 \leq B_r < 81$  бўлса, у ҳолда тасвир объектлари контурини ажратишида Китчен-Малин, ДоГ ёки ЛоГ фильтрларидан бири қўлланилади ёки тасвир дастлабки ишлов бериш жараёнига юборилади;
- агар  $81 \leq B_r < 100$  бўлса, у ҳолда тасвир объектлари контурини ажратишида келтирилған усуллар самарасиз ҳисобланади.

Юқорида таклиф этилган ёндашув сунъий йўлдош тасвирлар тўплами учун ҳам синовлар ўтказилди. Олинган натижалар сунъий йўлдош тасвирларида таклиф этилган ёндашувни қўллаш дала майдонлари контурларини тўлиқроқ қамраб олинишини кўрсатди.

Тасвир объектлари контурини ажратишни юқорида келтирилған усуллари сунъий йўлдош тасвирлар тўпламини таҳлил қилишни автоматлаштиришда муҳим аҳамиятга эга бўлиб, соҳа мутахассислари экин майдонларини кузатишида қимматли маълумотларни тезроқ олиш имконини беради.

## **Фойдаланилган адабиётлар**

1. Acharjya, P.P., Das, R., & Ghoshal, D. (2012). Study and Comparison of Different Edge Detectors for Image Segmentation. Global journal of computer science and technology.
2. Mamatov, N. S., Niyozmatova, N. A., Jalelova, M. M., Samijonov, A. N., and Tojiboyeva, Sh. X., "Methods for improving contrast of agricultural images," E3S Web Conf., vol. 401, p. 4020, 2023. DOI: 10.1051/e3sconf/202340104020
3. Mamatov, N.S., Pulatov G. G., Jalelova M.M., "Image contrast enhancement method and contrast evaluation criteria optimal pair" Digital Transformation and Artificial Intelligence. Vol. 1 No. 2 (2023). Vol. 1 No. 2 (2023). <https://dtai.tsue.uz/index.php/dtai/article/view/v1i225/v1i225>
4. Маматов, Н., Султанов, П., Юлдашев, Ю., & Жалелова, М. (2023). Методы повышения контрастности изображений при мультиспиральной компьютерной томографии. Евразийский журнал академических исследований, 3(9), 125-132.
5. Маматов, Н., Султанов, П., Жалелова, М., & Тожибоева, Ш. (2023). Критерии оценки качества медицинских изображений, полученных на мультиспиральном компьютерном томографе. Евразийский журнал медицинских и естественных наук, 3(9), 66-77.
6. Mittal, Anish & Moorthy, Anush & Bovik, Alan. (2012). No-Reference Image Quality Assessment in the Spatial Domain. IEEE transactions on image processing : a publication of the IEEE Signal Processing Society. 21. 10.1109/TIP.2012.2214050.
7. Gong, H.X., & Hao, L. (2014). Roberts edge detection algorithm based on GPU. Journal of chemical and pharmaceutical research, 6.
8. L. Yang, X. Wu, D. Zhao, H. Li and J. Zhai, "An improved Prewitt algorithm for edge detection based on noised image," 2011 4th International Congress on Image and Signal Processing, Shanghai, China, 2011, pp. 1197-1200, doi:

- 10.1109/CISP.2011.6100495.
9. Vincent, Olufunke & Folorunso, Olusegun. (2009). A Descriptive Algorithm for Sobel Image Edge Detection. 10.28945/3351.
  10. Chakraborty, S., Shaikh, S.H., Chakrabarti, A. et al. Quantum image edge extraction based on classical robinson operator. *Multimed Tools Appl* 81, 33459–33481 (2022). <https://doi.org/10.1007/s11042-022-12627-3>
  11. Hu, J., Tong, X., Xie, Q., Li, L. (2016). An Improved, Feature-Centric LoG Approach for Edge Detection. In: Gervasi, O., et al. Computational Science and Its Applications – ICCSA 2016. *ICCSA 2016. Lecture Notes in Computer Science()*, vol 9787. Springer, Cham. [https://doi.org/10.1007/978-3-319-42108-7\\_36](https://doi.org/10.1007/978-3-319-42108-7_36)
  12. Winnemoeller, Holger & Kyprianidis, Jan & Olsen, Sven. (2012). XDoG: An eXtended difference-of-Gaussians compendium including advanced image stylization. *Computers & Graphics*. 36. 740–753. 10.1016/j.cag.2012.03.004.
  13. Wittmann, Julian & Herl, Gabriel. (2023). Canny-Net: Known Operator Learning for Edge Detection. *e-Journal of Nondestructive Testing*. 28. 10.58286/27751.
  14. Kitchen, L. and Malin, J. (1989). The effect of spatial discretization on the magnitude and direction response of simple differential edge operators on a step edge. *Computer vision, graphics, and image processing*, 47(2):243–258
  15. Bibi, N., Dawood, H. SEBR: Scharr Edge-Based Regularization Method for Blind Image Deblurring. *Arab J Sci Eng* (2023). <https://doi.org/10.1007/s13369-023-07986-4>
  16. Kawalec-Latała, Ewa. (2014). Edge Detection on Images of Pseudoimpedance Section Supported by Context and Adaptive Transformation Model Images. *Studia Geotechnica et Mechanica*. 36. 10.2478/sgem-2014-0004.
  17. Orhei, C., Vert, S., and Vasiu, R. (2020c). A novel edge detection operator for identifying buildings in augmented reality applications. In *International Conference on Information and Software Technologies*, pages 208–219.

Springer